机器人原理课程

4. 操作臂逆运动学

部分课件来自于台湾大学 林沛群 教授 “机器人学导论”课程课件，在此表示感谢！

王久珂

wangjk57@mail.sysu.edu.cn

操作臂逆运动学

- 手臂順向運動學 Forward kinematics (FK)

  給予 θ_i（可計算出 ${}^{i-1}_{i}T$），求得 $\{H\}$ 或 ${}^{W}P$

  $${}^{W}_{H}T = f(\theta_1, \ldots, \theta_i, \ldots, \theta_n)$$

  $${}^{W}P = {}^{W}_{H}T\,{}^{H}P$$

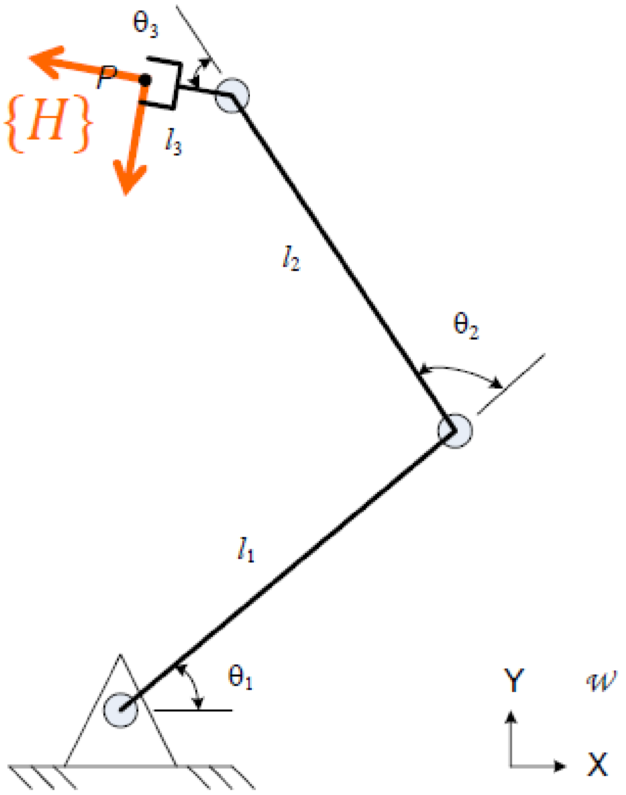

- 手臂逆向運動學 Inverse kinematics (IK)

  給予 $\{H\}$ 或 ${}^{W}P$，求得 θ_i

  $$[\theta_1, \ldots, \theta_i, \ldots, \theta_n] = f^{-1}({}^{W}_{H}T)$$

操作臂逆运动学

- 假設手臂有6 DOFs
  - 6 個未知的joint angles（θ_i或d_i，$i = 1, \ldots, 6$）

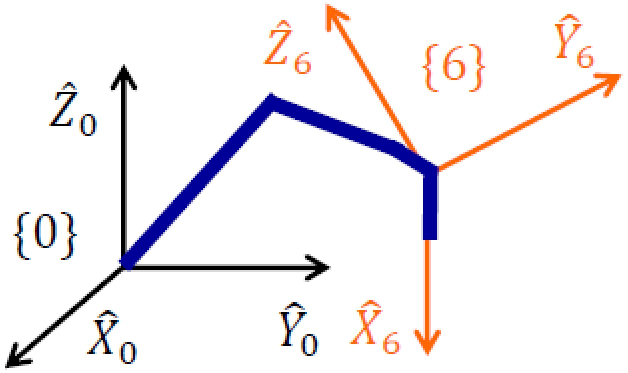

- 在${}^W_HT$中擷取出含未知數的${}^0_6T$，16個數字

$$
{}^0_6T = \left[\begin{array}{ccc|c} & {}^0_6R_{3\times 3} & & {}^0P_{6\,org\;3\times 1} \\ \hline 0 & 0 & 0 & 1 \end{array}\right]_{4\times 4} = \left[\begin{array}{ccc|c} | & | & | & | \\ {}^0\hat{X}_6 & {}^0\hat{Y}_6 & {}^0\hat{Z}_6 & {}^0P_{6\,org} \\ | & | & | & | \\ \hline 0 & 0 & 0 & 1 \end{array}\right]
$$

- 求解
  - 12個nonlinear transcendental equations方程式
  - 6個未知數，6個限制條件

操作臂逆运动学

- Reachable workspace
  - 手臂可以用一種以上的姿態到達的位置
- Dexterous workspace
  - 手臂可以用任何的姿態到達的位置
- Ex: A RR manipulator

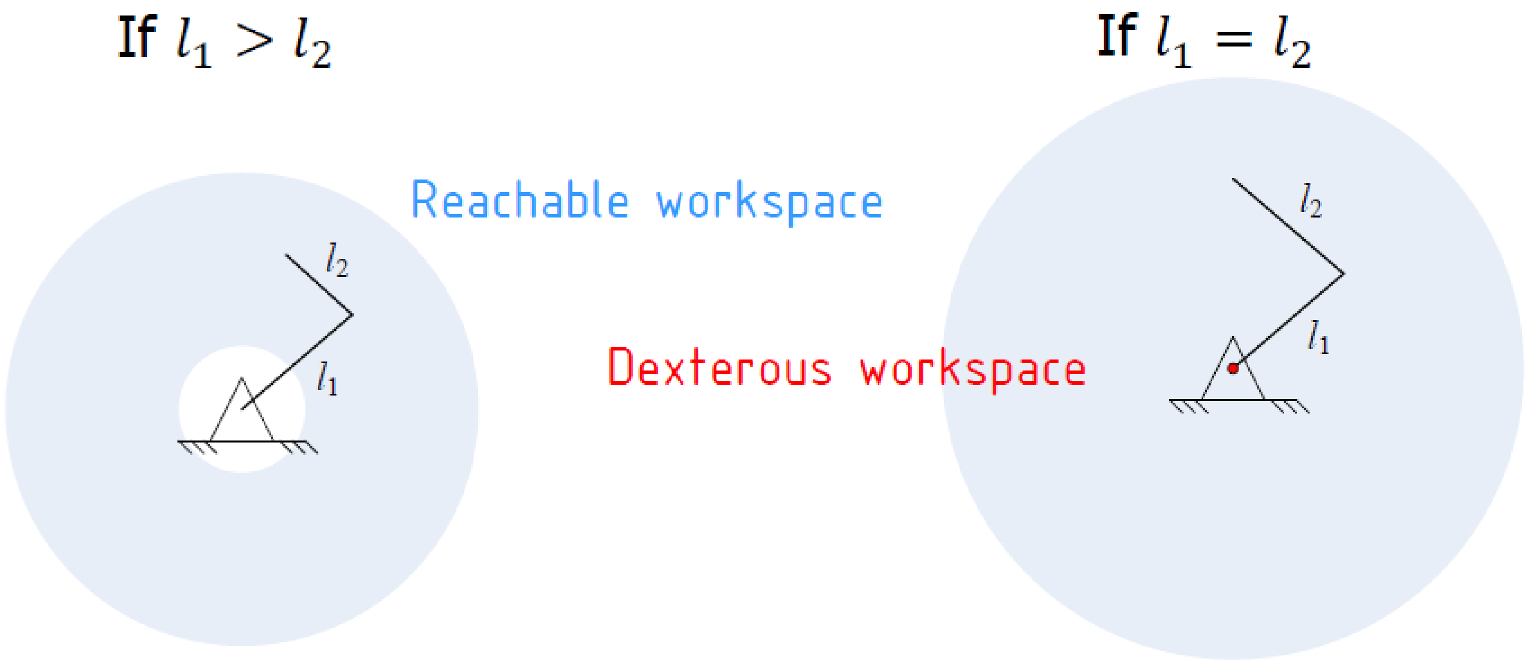

操作臂逆运动学

- Subspace
  - 手臂在定義頭尾的T所能達到的變動範圍
- Ex: A RP manipulator
  - 2-DOF, Variables: (x, y)

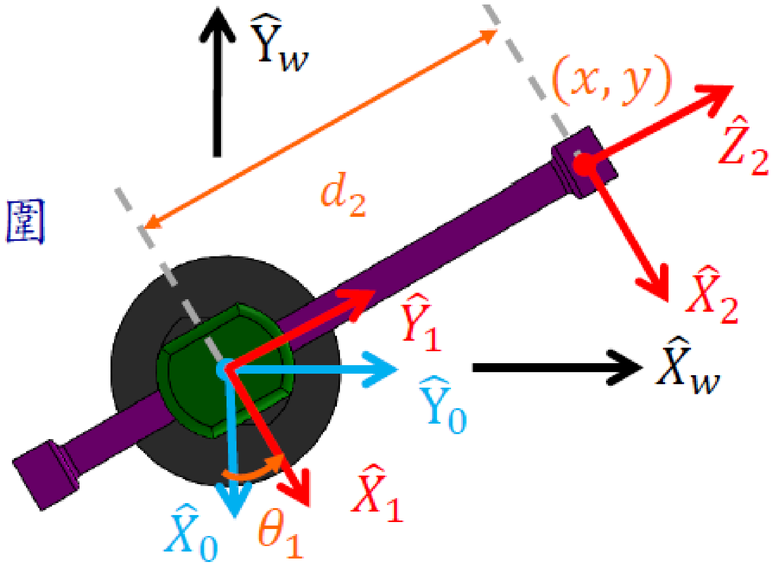

$$
{}^{w}_{2}T = \begin{array}{c}
\begin{array}{cccc} & & {}^{0}\hat{Z}_2 & {}^{0}P_{2\,ORG} \end{array} \\
\begin{bmatrix}
\frac{y}{\sqrt{x^2+y^2}} & 0 & \frac{x}{\sqrt{x^2+y^2}} & x \\
\frac{-x}{\sqrt{x^2+y^2}} & 0 & \frac{y}{\sqrt{x^2+y^2}} & y \\
0 & -1 & 0 & 0 \\
0 & 0 & 0 & 1
\end{bmatrix}
\end{array}
$$

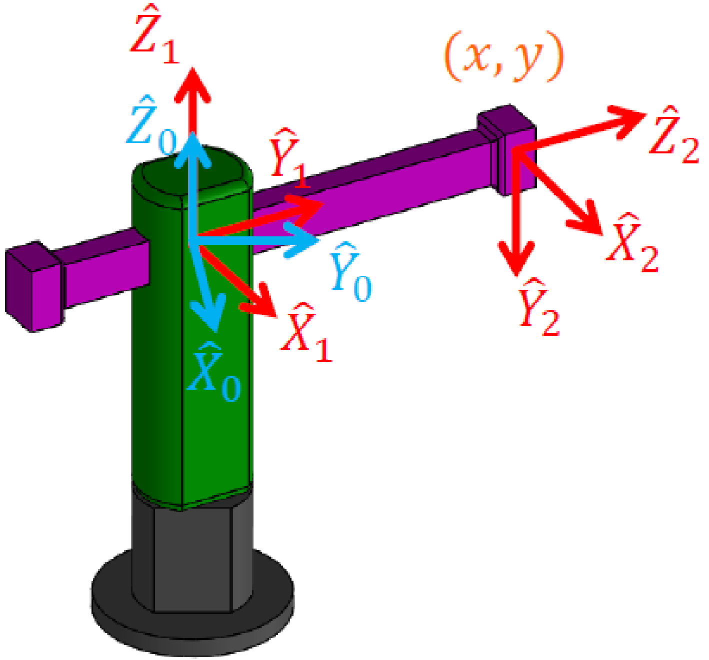

操作臂逆运动学

❑ 解的數目

- 由於是nonlinear transcendental equations，6未知數6方程式不代表具有唯一解
- 是由joint數目和link參數所決定

Ex: A RRRRRR manipulator

a_i	解的數目
$a_1 = a_3 = a_5 = 0$	≤ 4
$a_3 = a_5 = 0$	≤ 8
$a_3 = 0$	≤ 16
$All\ a_i \neq 0$	≤ 16

操作臂逆运动学

- Ex: PUMA (6 rotational joints)
  - 針對特定工作點，8組解
  - 前3軸具有4種姿態

    如右圖所示
  - 每一個姿態中，具有2組手腕轉動姿態

$$\theta_4' = \theta_4 + 180^\circ$$

$$\theta_5' = -\theta_5$$

$$\theta_6' = \theta_6 + 180^\circ$$

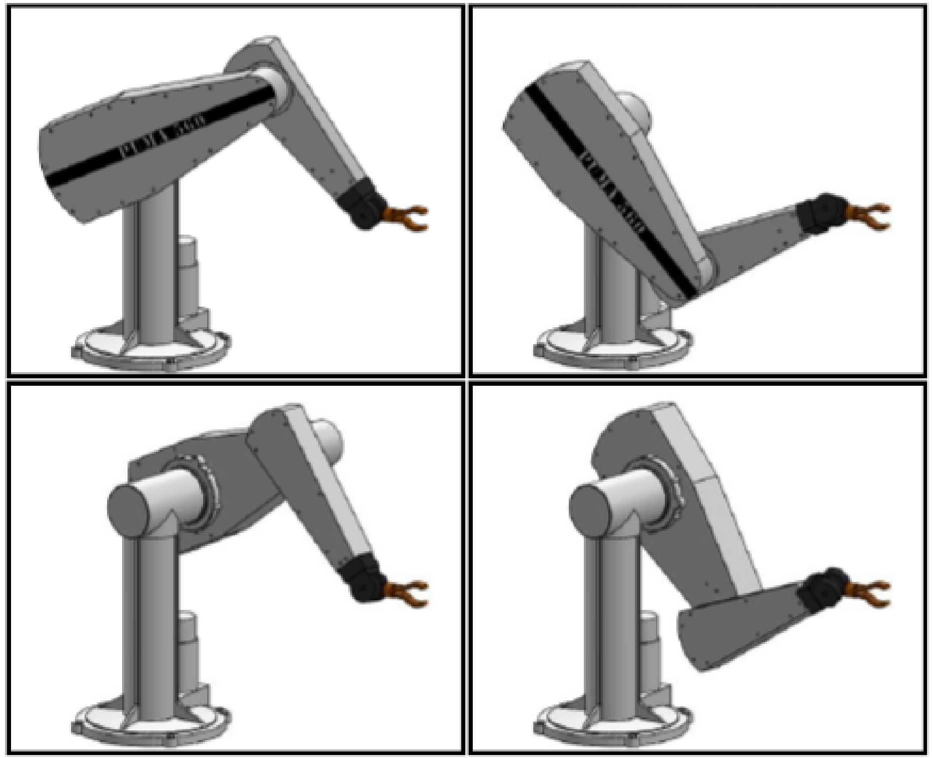

  - 若手臂本身有幾何限制，並非每一種解都可以運作

操作臂逆运动学

- 若具有多重解，解的選擇方式
  - 離目前狀態最近的解
    - 最快
    - 最省能
    - ....
  - 避開障礙物

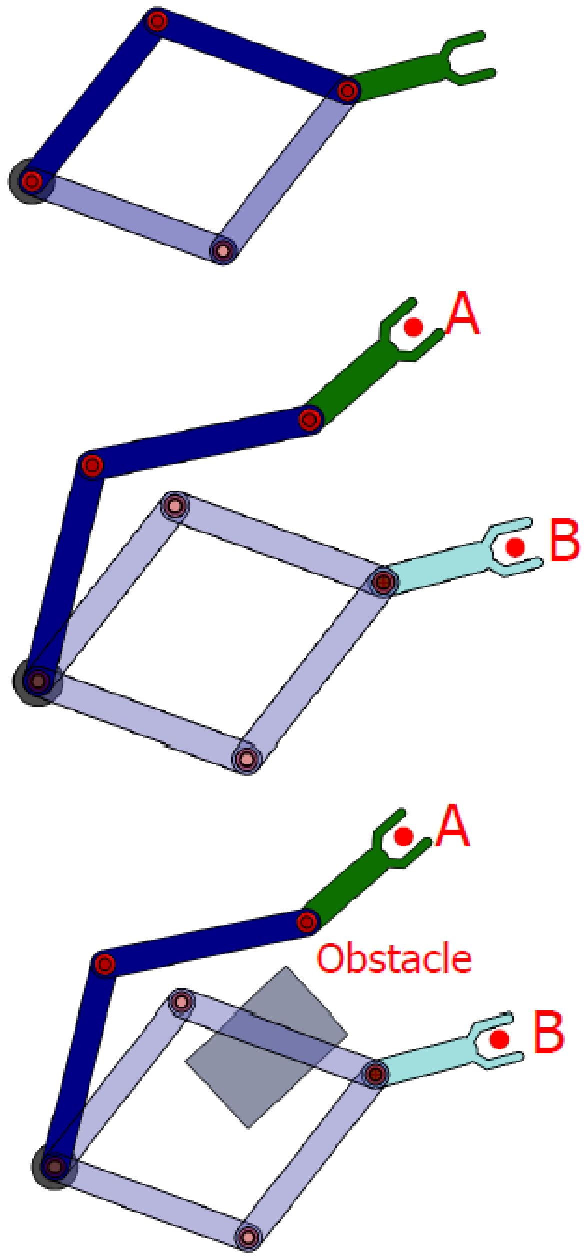

操作臂逆运动学

- 解析法 Closed-form solutions
  - 用 代數algebraic 或 幾何geometric 方法
- 數值法 Numerical solutions
- 目前大多機械手臂設計成具有解析解
  - Pieper's solution: 相鄰三軸相交一點

操作臂逆运动学

- Ik problem: given (x, y, ϕ), $(\theta_1, \theta_2, \theta_3) = ?$

  - Forward kinematics

$$
{}^0_3T = \begin{bmatrix} c_{123} & -s_{123} & 0.0 & l_1c_1 + l_2c_{12} \\ s_{123} & c_{123} & 0.0 & l_1s_1 + l_2s_{12} \\ 0.0 & 0.0 & 1.0 & 0.0 \\ 0 & 0 & 0 & 1 \end{bmatrix}
$$

  - Goal point

$$
{}^0_3T = \begin{bmatrix} c_\phi & -s_\phi & 0.0 & x \\ s_\phi & c_\phi & 0.0 & y \\ 0.0 & 0.0 & 1.0 & 0.0 \\ 0 & 0 & 0 & 1 \end{bmatrix}
$$

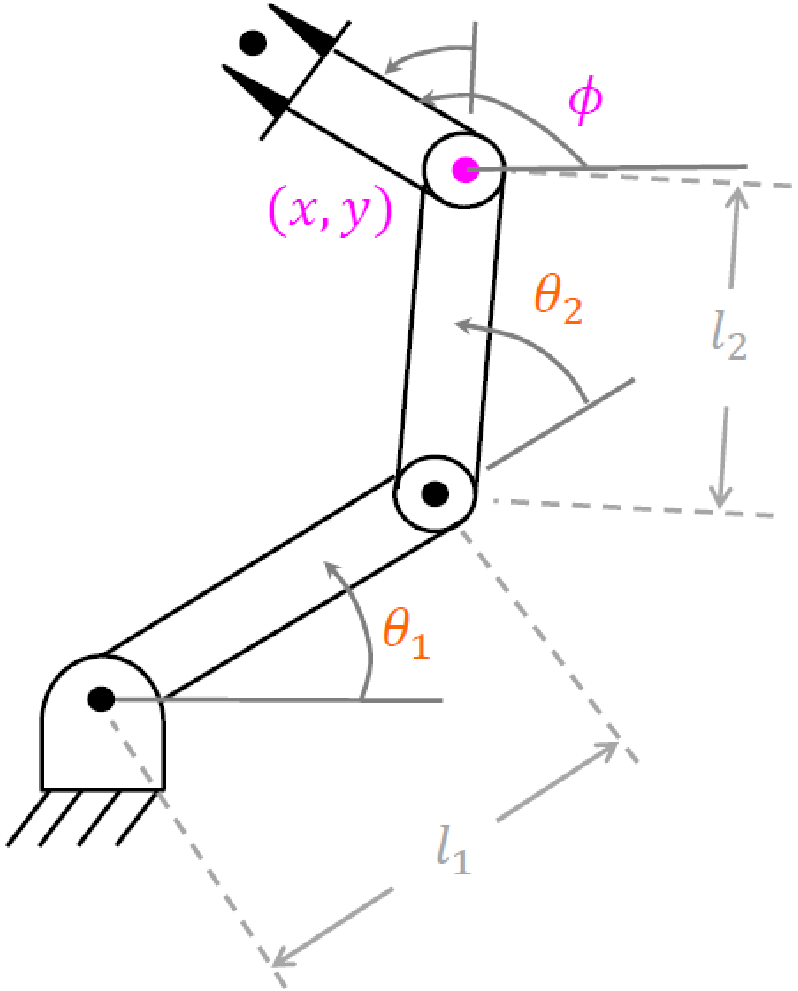

操作臂逆运动学

- 幾何法：將空間幾何切割成平面幾何

$$x^2+y^2=l_1^2+l_2^2-2l_1l_2\cos(180^\circ-\theta_2)$$

$$c_2=\frac{x^2+y^2-l_1^2-l_2^2}{2l_1l_2}$$

餘弦定理

$$cos\psi=\frac{l_2^2-(x^2+y^2)-l_1^2}{-2l_1\sqrt{x^2+y^2}}$$

三角形內角 $0^\circ<\psi<180^\circ$

$$\theta_1=\begin{cases}atan2(y,x)+\psi & \theta_2<0^\circ\\ atan2(y,x)-\psi & \theta_2>0^\circ\end{cases}$$

$$\theta_3=\phi-\theta_1-\theta_2$$

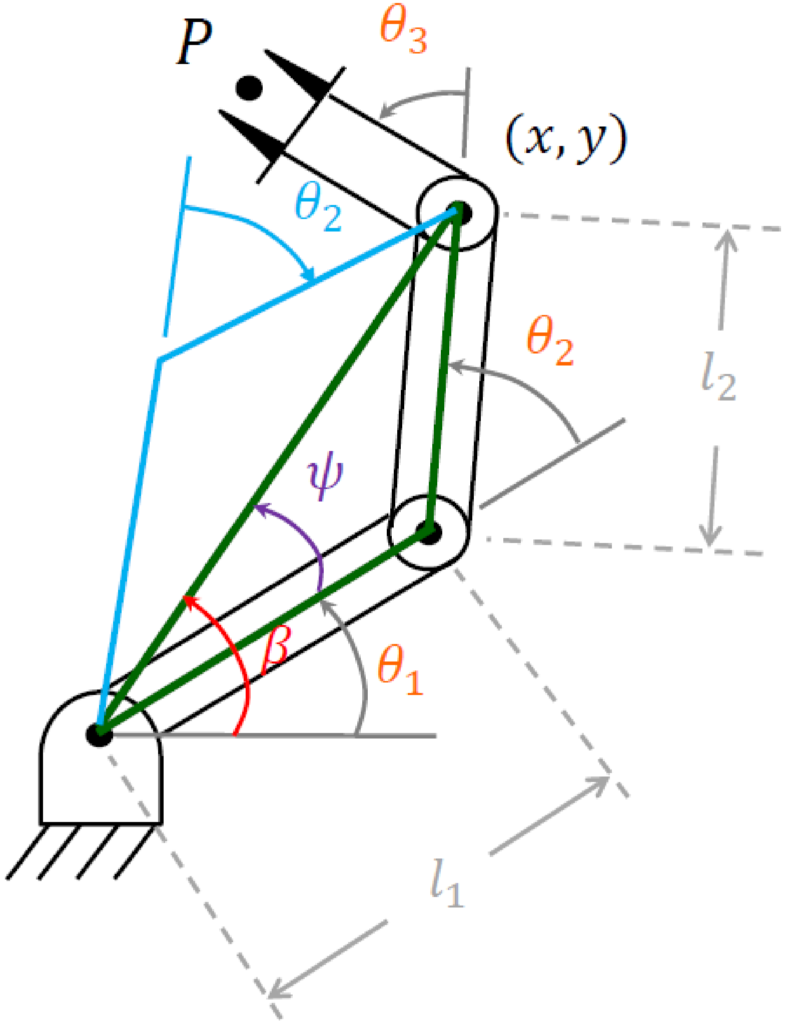

操作臂逆运动学

- Ex: 量化計算

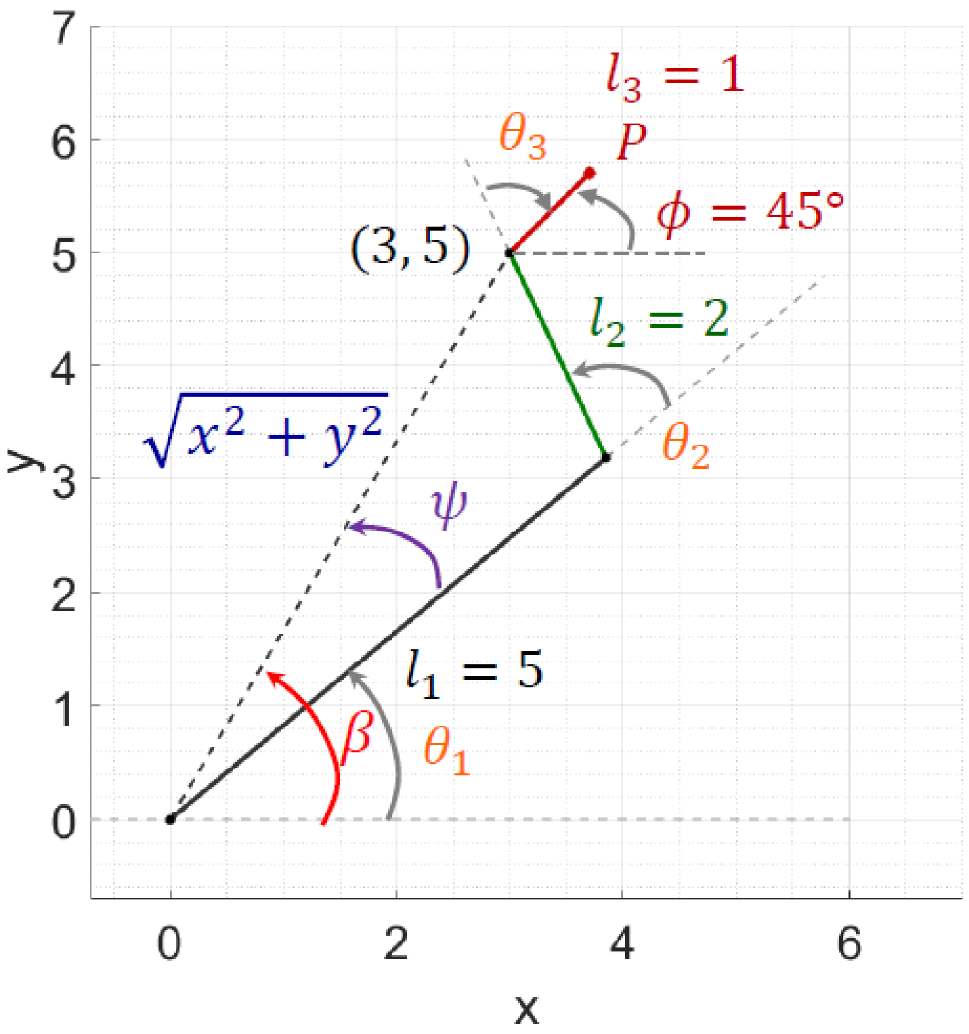

$$c_2 = \frac{x^2 + y^2 - l_1^2 - l_2^2}{2 l_1 l_2}$$

$$\theta_2 = 75.5°$$

$$cos\psi = \frac{l_2^2 - (x^2 + y^2) - l_1^2}{-2 l_1 \sqrt{x^2 + y^2}}$$

$$\psi = 19.4°$$

$$\theta_1 = atan2(y, x) - \psi$$

$$\theta_1 = 39.6°$$

$$\theta_3 = \phi - \theta_1 - \theta_2$$

$$\theta_3 = -70.2°$$

操作臂逆运动学

- In-Video Quiz: 針對同一個位移和姿態，求得另一組 $(\theta_1, \theta_2, \theta_3)$ 的解

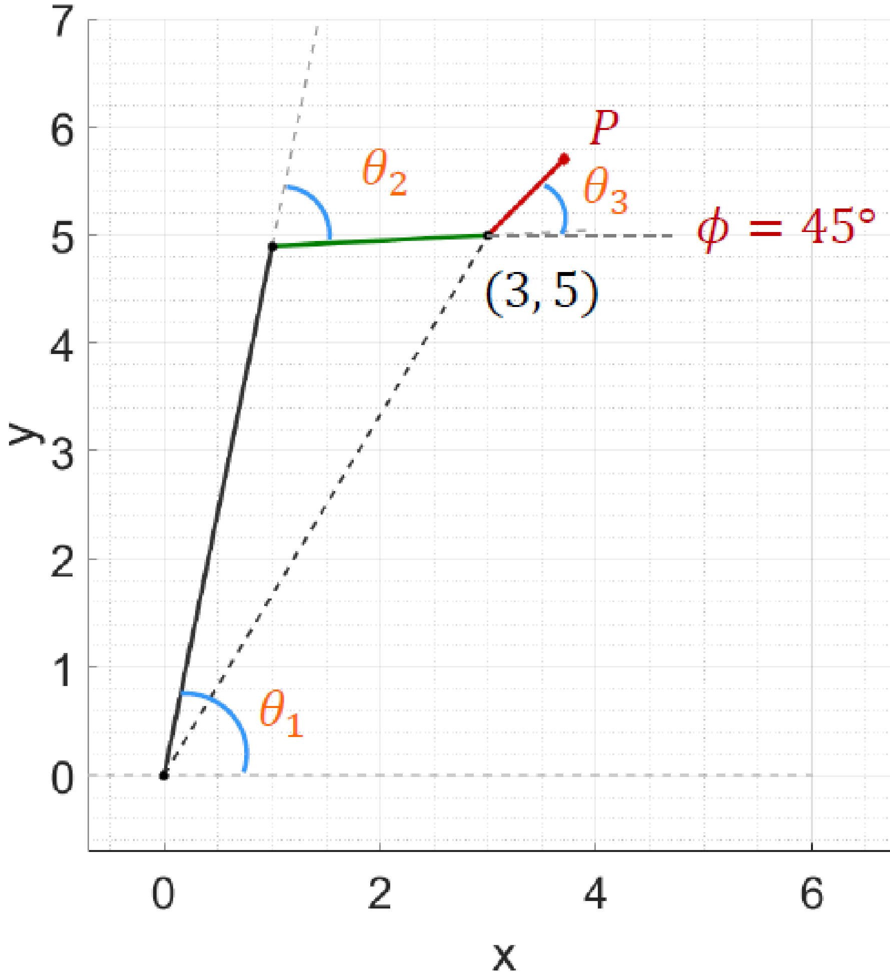

(A)
$\theta_1 = 75.5$
$\theta_2 = -78.4$
$\theta_3 = 42.1$

(B)
$\theta_1 = 78.4$
$\theta_2 = -75.5$
$\theta_3 = 42.1$

(C)
$\theta_1 = -78.4$
$\theta_2 = 75.5$
$\theta_3 = 42.1$

(D)
$\theta_1 = 59$
$\theta_2 = -75.5$
$\theta_3 = 42.1$

操作臂逆运动学

- 代數解

  - 建立方程式

$$c_\phi = c_{123}$$

$$s_\phi = s_{123}$$

$$x = l_1 c_1 + l_2 c_{12}$$

$$y = l_1 s_1 + l_2 s_{12}$$

$${}^0_3T = \begin{bmatrix} c_{123} & -s_{123} & 0.0 & l_1 c_1 + l_2 c_{12} \\ s_{123} & c_{123} & 0.0 & l_1 s_1 + l_2 s_{12} \\ 0.0 & 0.0 & 1.0 & 0.0 \\ 0 & 0 & 0 & 1 \end{bmatrix} = \begin{bmatrix} c_\phi & -s_\phi & 0.0 & x \\ s_\phi & c_\phi & 0.0 & y \\ 0.0 & 0.0 & 1.0 & 0.0 \\ 0 & 0 & 0 & 1 \end{bmatrix}$$

  - 解 θ_2

$$x^2 + y^2 = {l_1}^2 + {l_2}^2 + 2 l_1 l_2 c_2$$

$$c_2 = \frac{x^2 + y^2 - {l_1}^2 - {l_2}^2}{2 l_1 l_2}$$

> 1 or < 1: too far for the manipulator to reach

$-1 \leq \quad \leq 1$: "two solutions" $\theta_2 = cos^{-1}(c_2)$

操作臂逆运动学

- 將求得的 θ_2 帶入方程式

$$x = l_1 c_1 + l_2 c_{12} = (l_1 + l_2 c_2) c_1 + (-l_2 s_2) s_1 \triangleq k_1 c_1 - k_2 s_1$$

$$y = l_1 s_1 + l_2 s_{12} = (l_1 + l_2 c_2) s_1 + \quad (l_2 s_2) c_1 \triangleq k_1 s_1 + k_2 c_1$$

- 變數變換

define

$$r = +\sqrt{{k_1}^2 + {k_2}^2}$$

$$\gamma = Atan2(k_2, k_1)$$

then

$$k_1 = r\cos\gamma$$

$$k_2 = r\sin\gamma$$

And then

$$\frac{x}{r} = \cos\gamma\cos\theta_1 - \sin\gamma\sin\theta_1 = \cos(\gamma + \theta_1)$$

$$\frac{y}{r} = \cos\gamma\sin\theta_1 + \sin\gamma\cos\theta_1 = \sin(\gamma + \theta_1)$$

操作臂逆运动学

- 解 θ_1

$$\gamma + \theta_1 = Atan2\left(\frac{y}{r}, \frac{x}{r}\right) = Atan2(y, x)$$

$$\Rightarrow \quad \theta_1 = Atan2(y, x) - Atan2(k_2, k_1)$$

當θ_2選不同解， $c2$和$s2$變動，k_1和k_2變動，θ_1也跟者變動

- 解 θ_3

$$\theta_1 + \theta_2 + \theta_3 = Atan2(s_\phi, c_\phi) = \phi$$

$$\Rightarrow \quad \theta_3 = \phi - \theta_1 - \theta_2$$

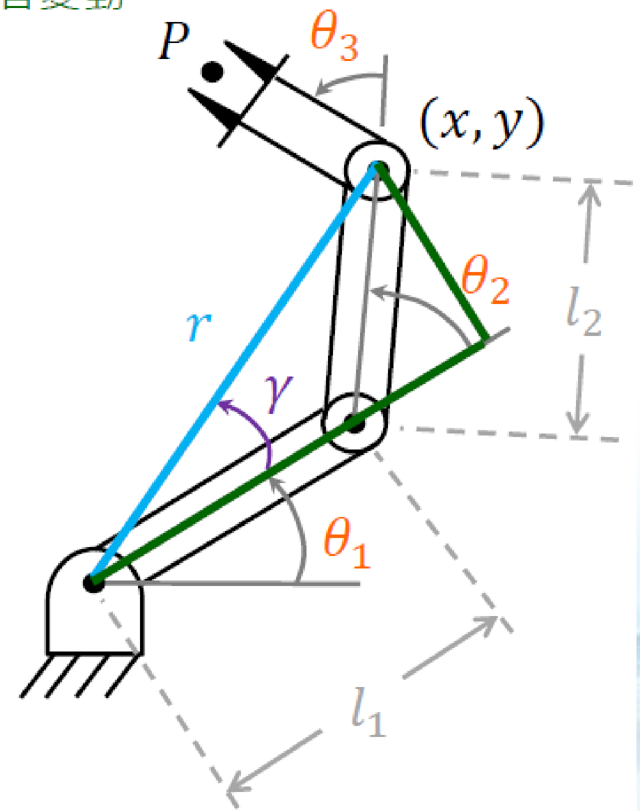

操作臂逆运动学

- Ex: 如何求得 $a\cos\theta + \mathrm{b}\sin\theta = c$ 的 θ？
  - 方法：變換到polynomials （4階以下有解析解）

$$\tan\left(\frac{\theta}{2}\right) = u, \qquad \cos\theta = \frac{1-u^2}{1+u^2}, \qquad \sin\theta = \frac{2u}{1+u^2}$$

  - 步驟：

$$a\cos\theta + \mathrm{b}\sin\theta = c$$

$$a\frac{1-u^2}{1+u^2} + \mathrm{b}\frac{2\mathrm{u}}{1+u^2} = c$$

$$(a+c)u^2 - 2bu + (c-a) = 0$$

$$u = \frac{\mathrm{b} \pm \sqrt{b^2 + a^2 - c^2}}{\mathrm{a+c}}$$

a, b, c大小有限制，不一定有解

$$\theta = 2\tan^{-1}\left(\frac{\mathrm{b} \pm \sqrt{b^2 + a^2 - c^2}}{\mathrm{a+c}}\right) \qquad a + c \neq 0$$

$$\theta = 180^\circ \qquad a + c = 0$$

操作臂逆运动学

- 若6-DOF manipulator具有三個連續的軸交在同一點，則手臂有解析解
- 一般，會把後三軸如此設計
  - 前三軸：產生移動
  - 後三軸：產生轉動
- Ex: A RRRRRR manipulator
  - 因後三軸交一點

$$^{0}P_{6\,ORG} = {}^{0}P_{4\,ORG}$$

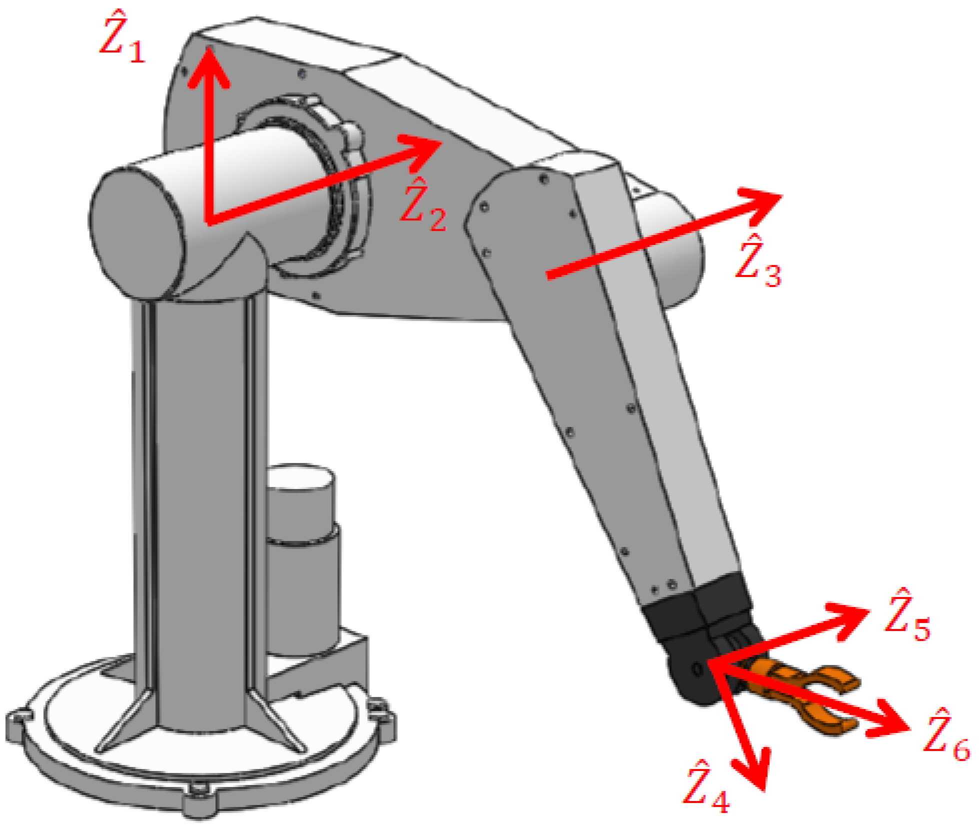

操作臂逆运动学

- Positioning structure
  - 法則：讓$\theta_1, \theta_2, \theta_3$層層分離

Note: $${}^{i-1}_{i}T = \begin{bmatrix} c\theta_i & -s\theta_i & 0 & a_{i-1} \\ s\theta_i c\alpha_{i-1} & c\theta_i c\alpha_{i-1} & -s\alpha_{i-1} & -s\alpha_{i-1} d_i \\ s\theta_i s\alpha_{i-1} & c\theta_i s\alpha_{i-1} & c\alpha_{i-1} & c\alpha_{i-1} d_i \\ 0 & 0 & 0 & 1 \end{bmatrix}$$

$$\begin{bmatrix} x \\ y \\ z \\ 1 \end{bmatrix} = {}^{0}P_{4\,ORG} = {}^{0}_{1}T\,{}^{1}_{2}T\,{}^{2}_{3}T\;{}^{3}P_{4\,ORG}$$

$\cos\theta_i = c\theta_i = c_i$

$\sin\theta_i = s\theta_i = s_i$

$$= {}^{0}_{1}T\,{}^{1}_{2}T\,{}^{2}_{3}T \begin{bmatrix} a_3 \\ -d_4 s\alpha_3 \\ d_4 c\alpha_3 \\ 1 \end{bmatrix} = {}^{0}_{1}T\,{}^{1}_{2}T \begin{bmatrix} f_1(\theta_3) \\ f_2(\theta_3) \\ f_3(\theta_3) \\ 1 \end{bmatrix}$$

so

4^{th} column of ${}^{3}_{4}T$

$$\begin{bmatrix} f_1(\theta_3) \\ f_2(\theta_3) \\ f_3(\theta_3) \\ 1 \end{bmatrix} = {}^{2}_{3}T \begin{bmatrix} a_3 \\ -d_4 s\alpha_3 \\ d_4 c\alpha_3 \\ 1 \end{bmatrix}$$

讓$\theta_1, \theta_2, \theta_3$層層分離， f為θ_3函數

$$f_1(\theta_3) = a_3 c_3 + d_4 s\alpha_3 s_3 + a_2$$

$$f_2(\theta_3) = a_3 c\alpha_2 s_3 - d_4 s\alpha_3 c\alpha_2 c_3 - d_4 s\alpha_2 c\alpha_3 - d_3 s\alpha_2$$

$$f_3(\theta_3) = a_3 s\alpha_2 s_3 - d_4 s\alpha_3 s\alpha_2 c_3 + d_4 c\alpha_2 c\alpha_3 + d_3 c\alpha_2$$

操作臂逆运动学

- 下一步

$$
{}^{0}P_{4ORG}=\begin{bmatrix}x\\y\\z\\1\end{bmatrix}={}^{0}_{1}T\,{}^{1}_{2}T\begin{bmatrix}f_1(\theta_3)\\f_2(\theta_3)\\f_3(\theta_3)\\1\end{bmatrix}={}^{0}_{1}T\begin{bmatrix}g_1(\theta_2,\theta_3)\\g_2(\theta_2,\theta_3)\\g_3(\theta_2,\theta_3)\\1\end{bmatrix}=\begin{bmatrix}c_1g_1-s_1g_2\\s_1g_1+c_1g_2\\g_3\\1\end{bmatrix}
$$

讓$\theta_1, \theta_2, \theta_3$層層分離， g為θ_2, θ_3函數

$$
\begin{aligned}
g_1(\theta_2,\theta_3)&=c_2f_1-s_2f_2+a_1\\
g_2(\theta_2,\theta_3)&=s_2c\alpha_1f_1+c_2c\alpha_1f_2-s\alpha_1f_3-d_2s\alpha_1\\
g_3(\theta_2,\theta_3)&=s_2s\alpha_1f_1+c_2s\alpha_1f_2+c\alpha_1f_3+d_2c\alpha_1
\end{aligned}
$$

$$
\begin{aligned}
r&=x^2+y^2+z^2=g_1^2+g_2^2+g_3^2\\
&=f_1^2+f_2^2+f_3^2+a_1^2+d_2^2+2d_2f_3+2a_1(c_2f_1-s_2f_2)\\
&=(k_1c_2+k_2s_2)2a_1+k_3
\end{aligned}
$$

r僅為θ_2, θ_3函數

$$
\begin{aligned}
k_1(\theta_3)&=f_1\\
k_2(\theta_3)&=-f_2\\
k_3(\theta_3)&=f_1^2+f_2^2+f_3^2+a_1^2+d_2^2+2d_2f_3
\end{aligned}
$$

操作臂逆运动学

- 此外

$$z = g_3 = (k_1 s_2 - k_2 c_2) s\alpha_1 + k_4$$

z僅為θ_2, θ_3函數

$$k_1(\theta_3) = f_1$$
$$k_2(\theta_3) = -f_2$$
$$k_4(\theta_3) = f_3 c\alpha_1 + d_2 c\alpha_1$$

- 整合 r 和 z 一起考量

$$\begin{cases} r = (k_1 c_2 + k_2 s_2) 2a_1 + k_3 \\ z = (k_1 s_2 - k_2 c_2) s\alpha_1 + k_4 \end{cases}$$

  - If $a_1 = 0$, $r = k_3(\theta_3) = f_1^2 + f_2^2 + f_3^2 + a_1^2 + d_2^2 + 2d_2 f_3$
  - If $s\alpha_1 = 0$, $z = k_4(\theta_3) = f_3 c\alpha_1 + d_2 c\alpha_1$
  - Else

$$\frac{(r - k_3)^2}{4a_1^2} + \frac{(z - k_4)^2}{s^2\alpha_1} = k_1^2 + k_2^2$$

⇨ Solve θ_3 of all three cases by using "$u = \tan\left(\frac{\theta_3}{2}\right)$"

操作臂逆运动学

- 最後

Using $r = (k_1 c_2 + k_2 s_2) 2a_1 + k_3$ to solve θ_2

Using $x = c_1 g_1(\theta_2, \theta_3) - s_1 g_2(\theta_2, \theta_3)$ to solve θ_1

- Orientation
  - θ_1, θ_2, θ_3 已知

$$ {}^{3}_{6}R = {}^{0}_{3}R^{-1}\,{}^{0}_{6}R $$

  - 以 Z-Y-Z Euler angle 求解 θ_4, θ_5, θ_6

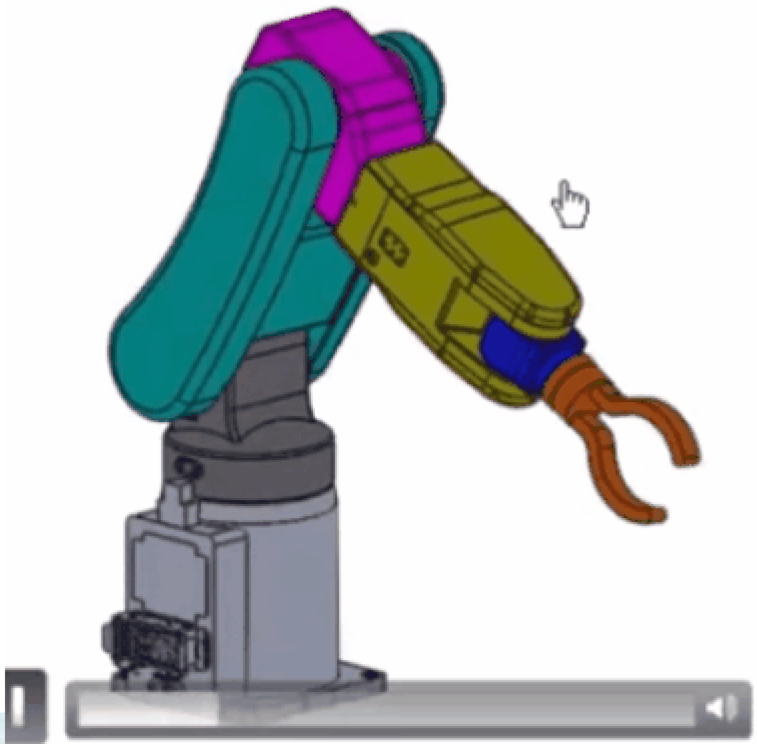

空间描述和变换

- Z-Y-Z Euler Angles - 由angles推算R

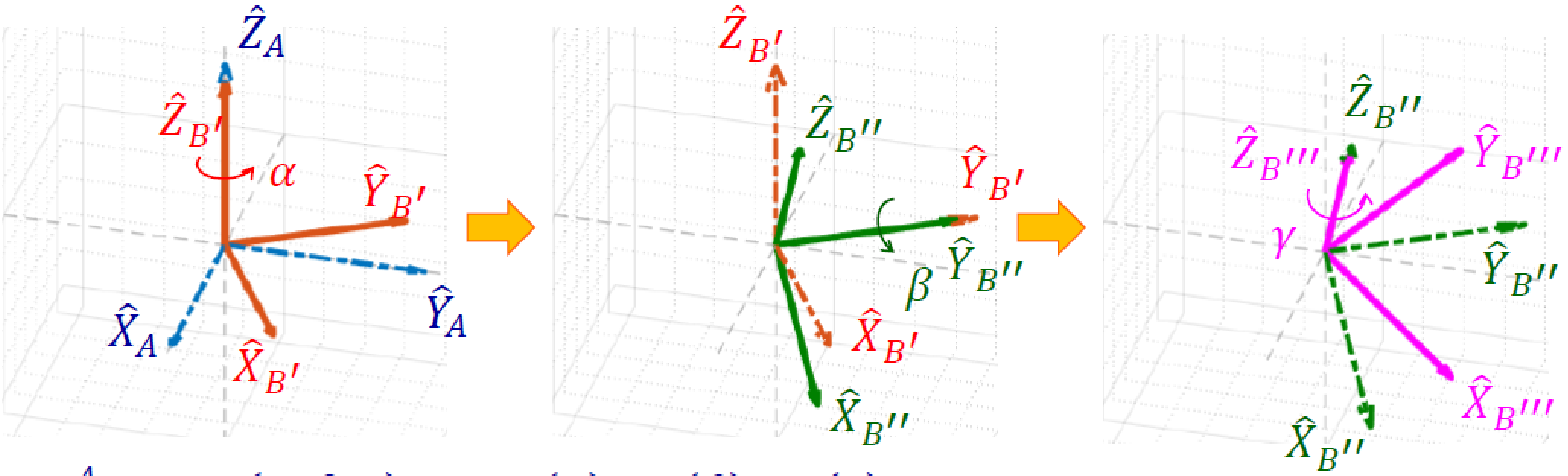

$$ {}^{A}_{B}R_{Z'Y'Z'}(\alpha,\beta,\gamma) = R_{Z'}(\alpha)R_{Y'}(\beta)R_{Z'}(\gamma) $$

先轉的放「前面」

$$ = \begin{bmatrix} c\alpha c\beta c\gamma - s\alpha s\gamma & -c\alpha c\beta s\gamma - s\alpha c\gamma & c\alpha s\beta \\ s\alpha c\beta c\gamma + c\alpha s\gamma & -s\alpha c\beta s\gamma + c\alpha c\gamma & s\alpha s\beta \\ -s\beta c\gamma & s\beta s\gamma & c\beta \end{bmatrix} $$

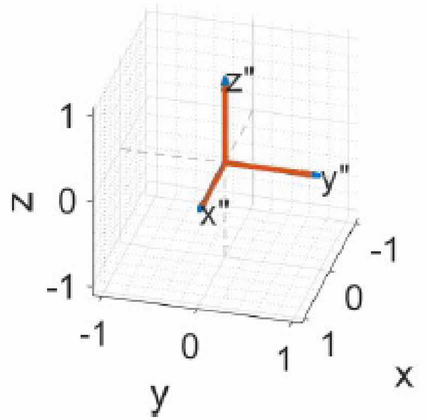

空间描述和变换

- Z-Y-Z Euler Angles - 由R推算angles

$$
{}^{A}_{B}R_{Z'Y'Z'}(\alpha,\beta,\gamma)=\begin{bmatrix} c\alpha c\beta c\gamma - s\alpha s\gamma & -c\alpha c\beta s\gamma - s\alpha c\gamma & c\alpha s\beta \\ s\alpha c\beta c\gamma + c\alpha s\gamma & -s\alpha c\beta s\gamma + c\alpha c\gamma & s\alpha s\beta \\ -s\beta c\gamma & s\beta s\gamma & c\beta \end{bmatrix}=\begin{bmatrix} r_{11} & r_{12} & r_{13} \\ r_{21} & r_{22} & r_{23} \\ r_{31} & r_{32} & r_{33} \end{bmatrix}
$$

If $\beta \neq 0°$

$$\beta = Atan2(\sqrt{r_{31}{}^2 + r_{32}{}^2}, r_{33})$$

$$\alpha = Atan2(r_{23}/s\beta, r_{13}/s\beta)$$

$$\gamma = Atan2(r_{32}/s\beta, -r_{31}/s\beta)$$

If $\beta = 0°$

$$\alpha = 0°$$

$$\gamma = Atan2(-r_{12}, r_{11})$$

If $\beta = 180°$

$$\alpha = 0°$$

$$\gamma = Atan2(r_{12}, -r_{11})$$

操作臂逆运动学

- Joints 4-6, DH definition

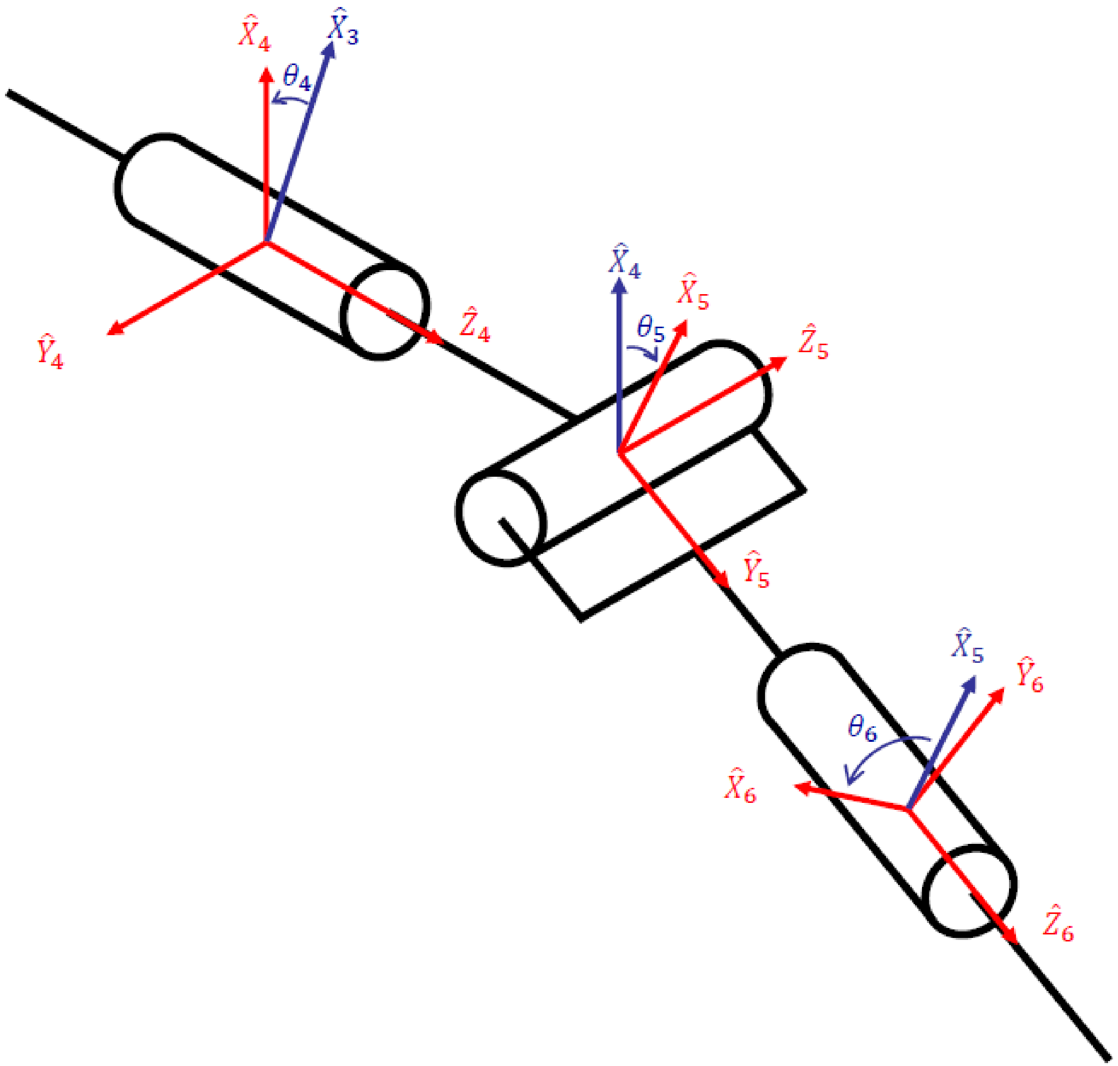

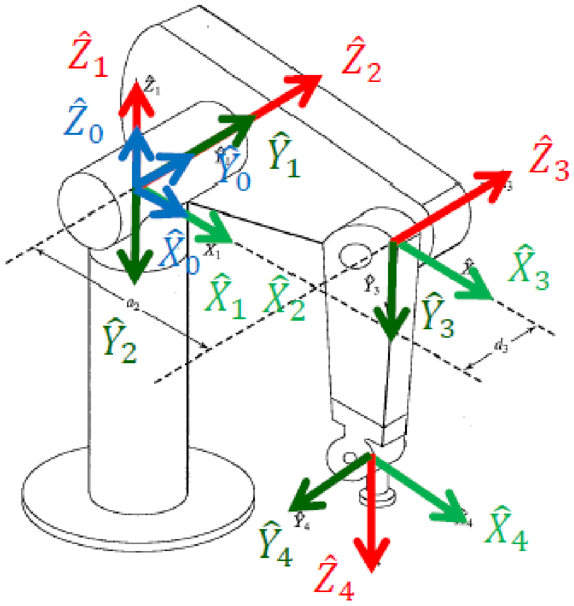

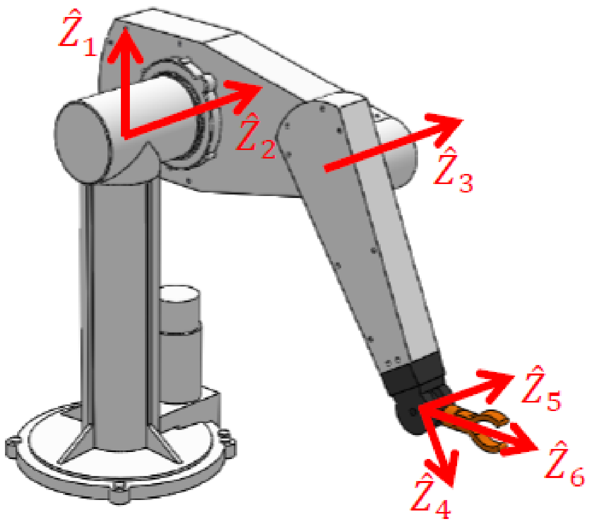

操作臂逆运动学

- DH definition vs. Z-Y-Z Euler Angles

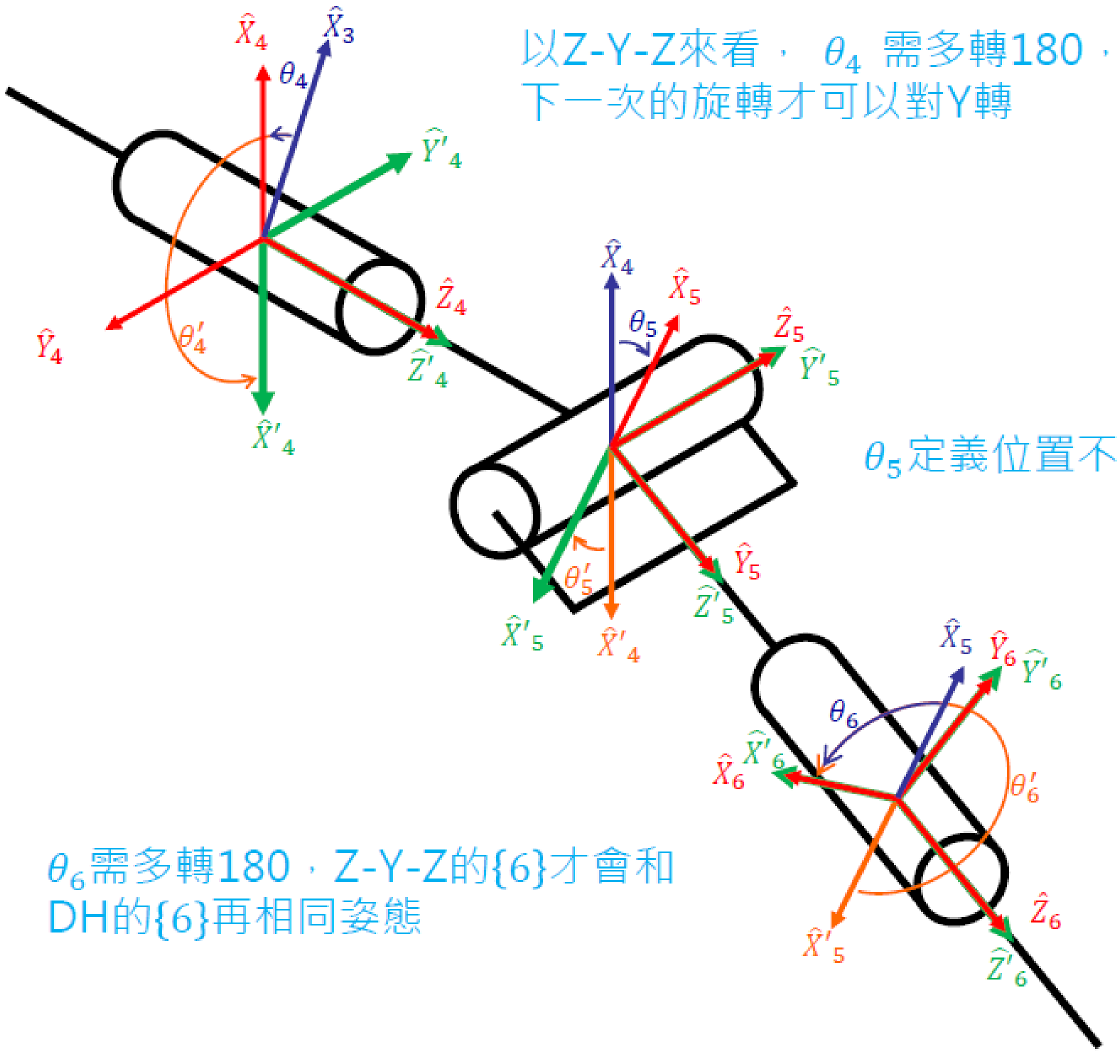

以Z-Y-Z來看， θ_4 需多轉180，
下一次的旋轉才可以對Y轉

θ_5定義位置不同，但量值沒變

θ_6需多轉180，Z-Y-Z的{6}才會和
DH的{6}再相同姿態

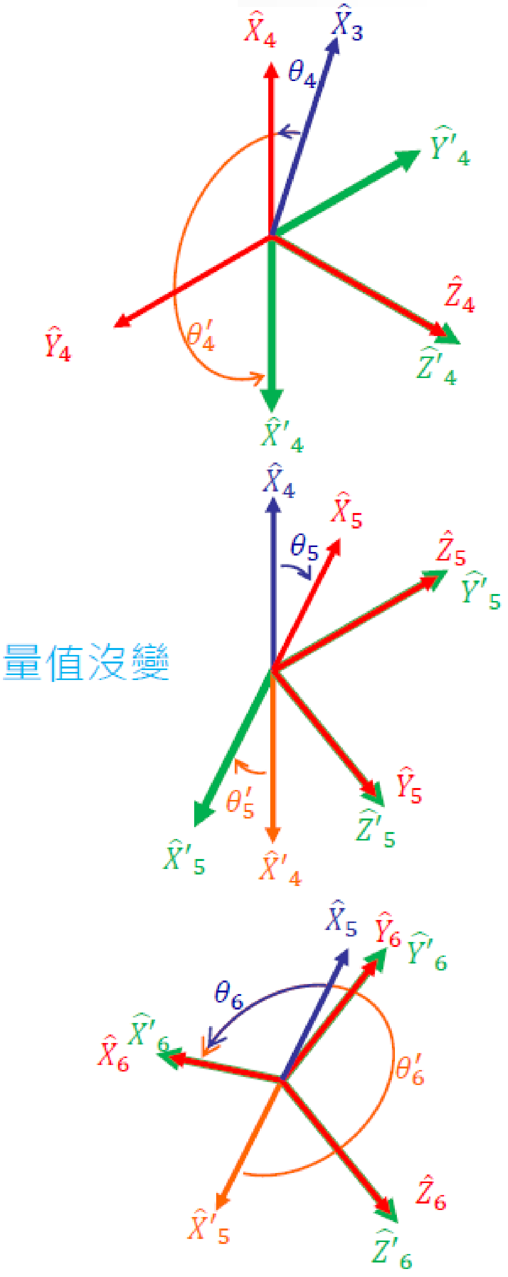

操作臂逆运动学

- Base, wrist, tool, station, and goal frames

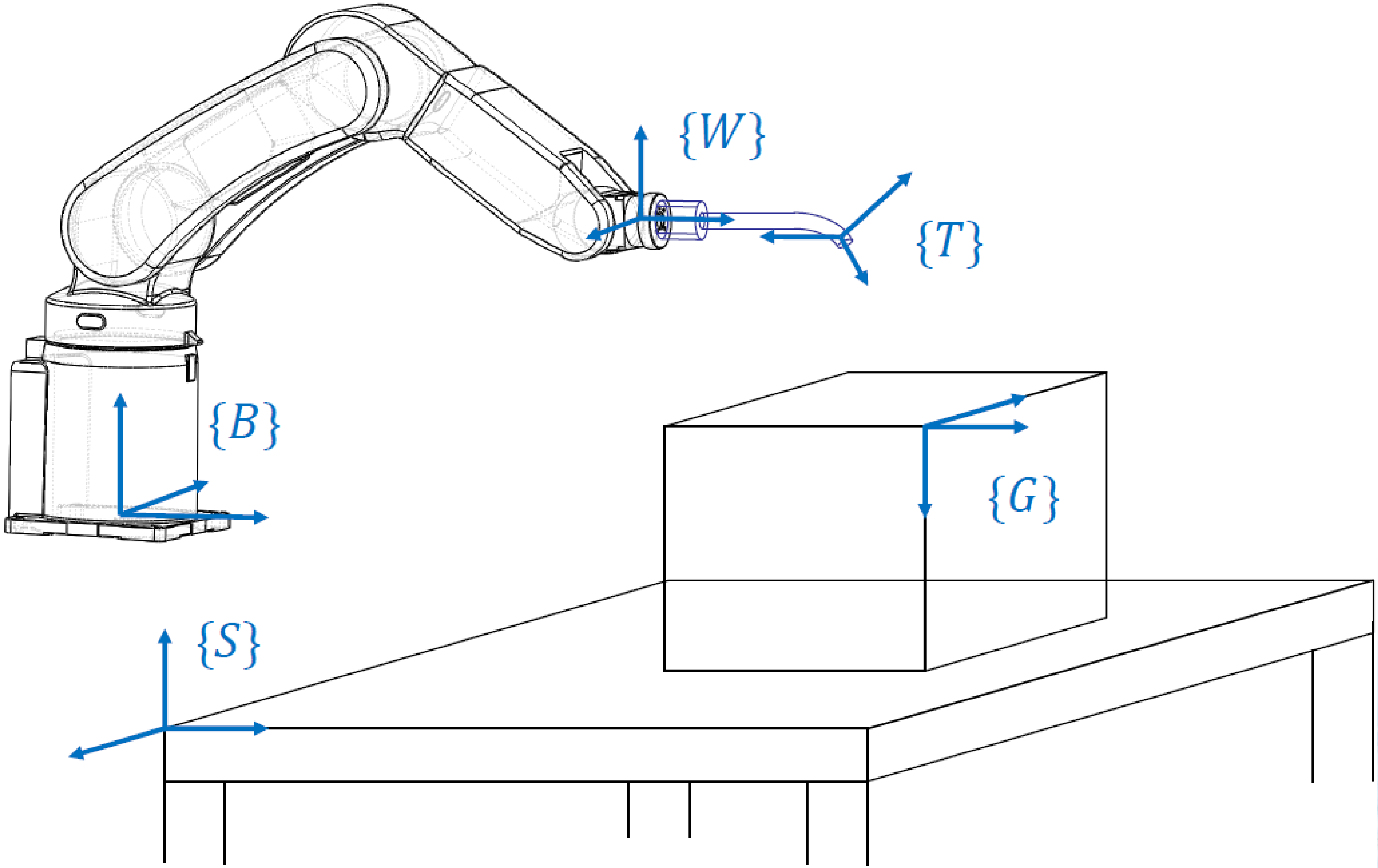

操作臂逆运动学

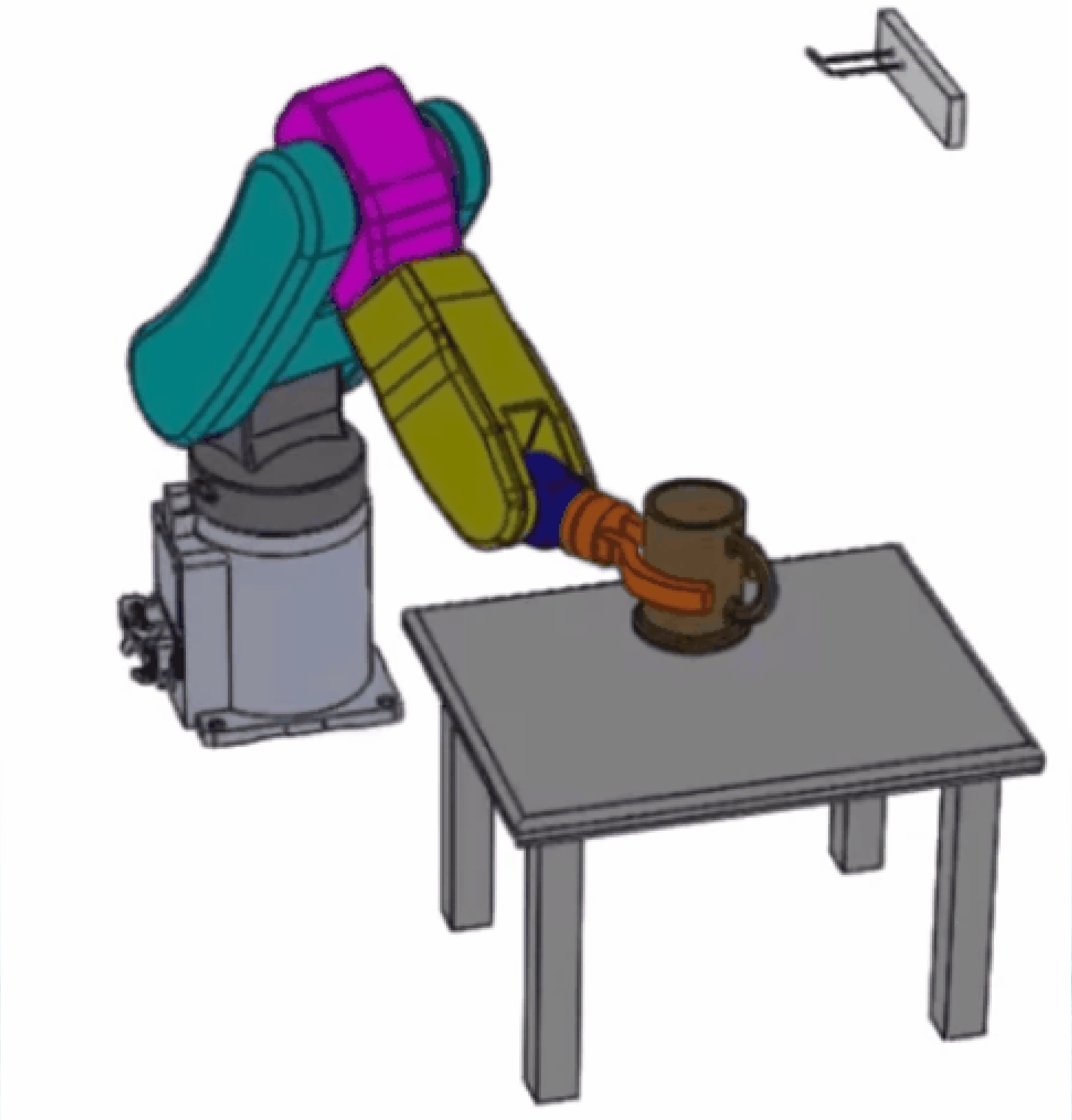

操作臂逆运动学

- 現階段任務：為使RRRRRR手臂能以下圖姿態夾住杯子（任務的起始點C ），手臂的6個joint angles需為何?

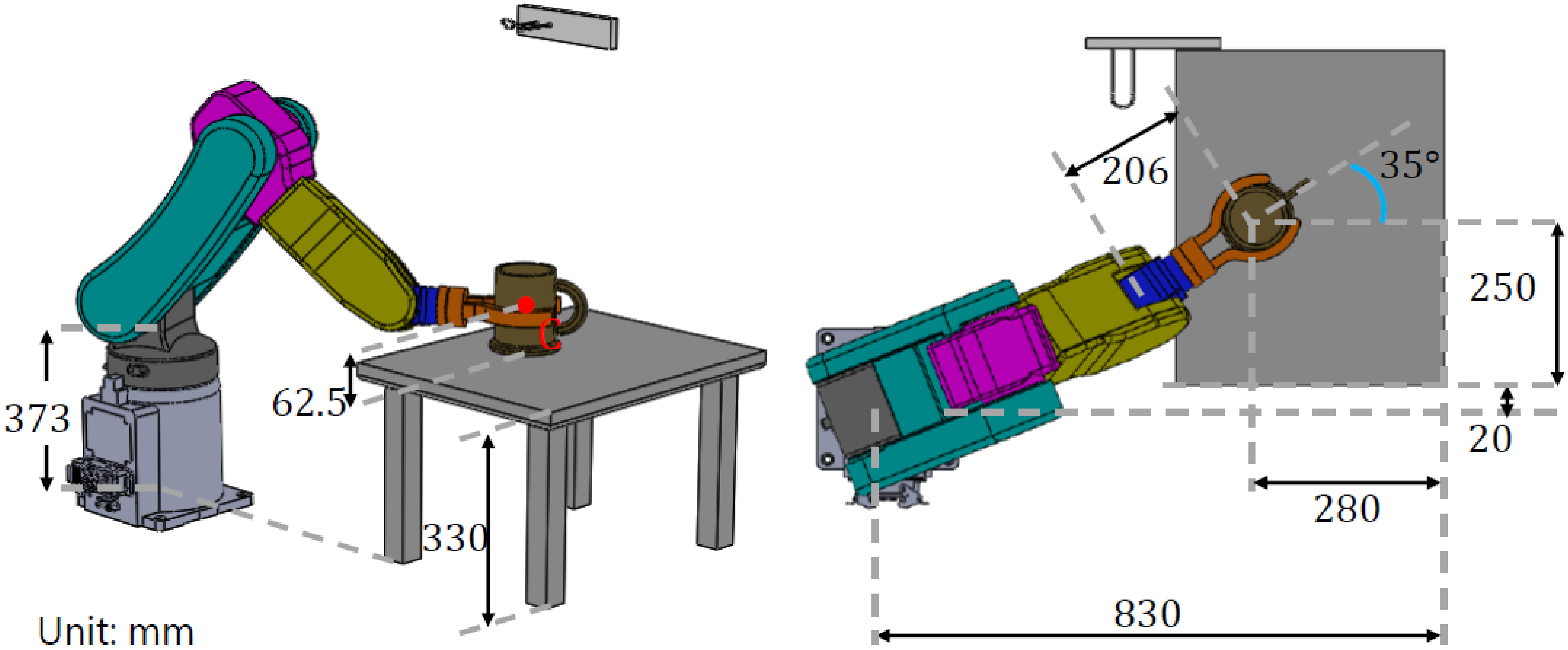

操作臂逆运动学

- Step 1: 定義DH Table

圖中顯示各軸為0°的狀態

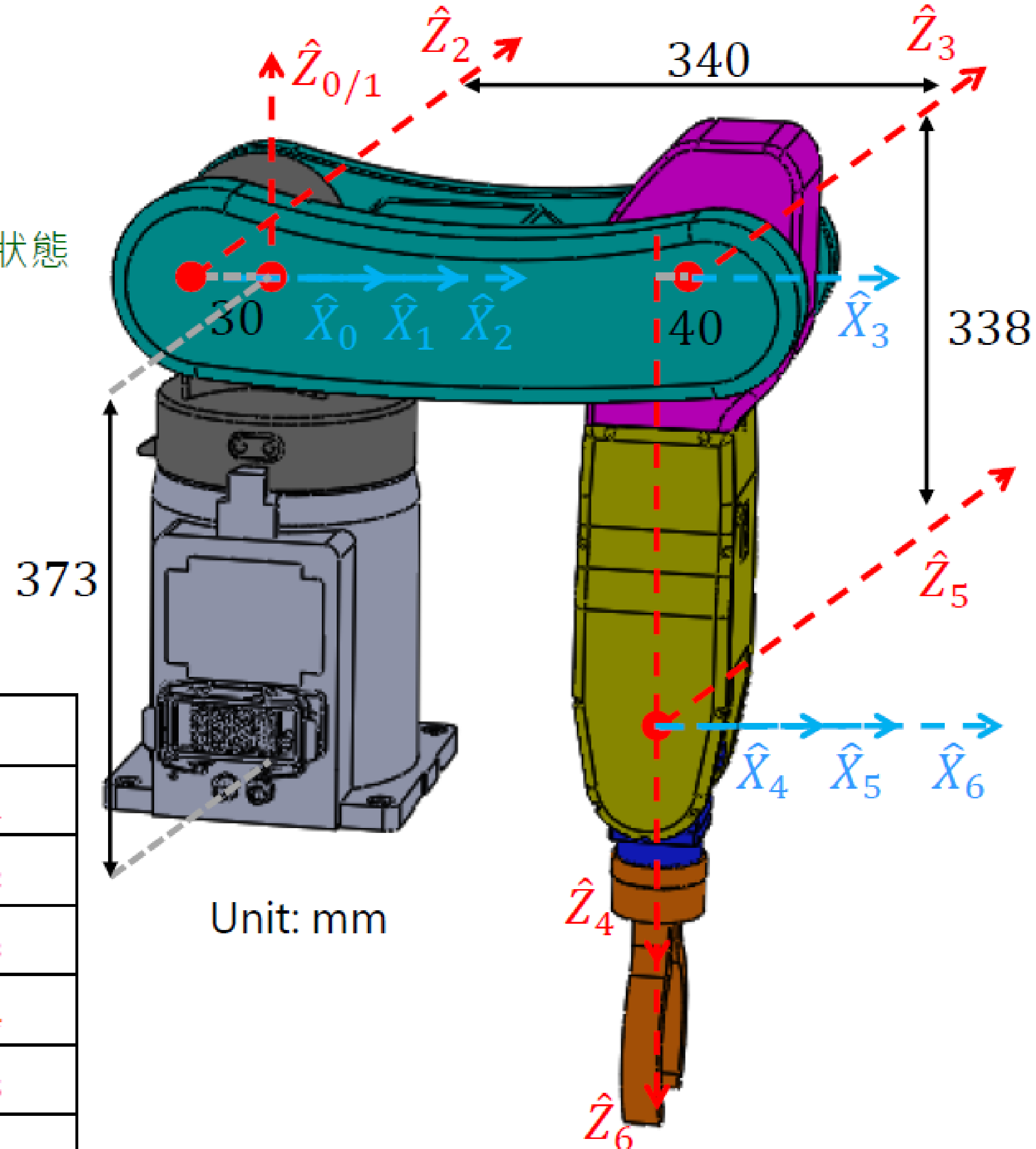

i	α_{i-1}	a_{i-1}	d_i	θ_i
1	0°	0	0	θ_1
2	-90°	$a_1 = -30$	0	θ_2
3	0°	$a_2 = 340$	0	θ_3
4	-90°	$a_3 = -40$	$d_4 = 338$	θ_4
5	90°	0	0	θ_5
6	-90°	0	0	θ_6

操作臂逆运动学

- Step 2: 找出 ${}^{W}_{C}T$，再進一步找出 ${}^{0}_{6}T$

$$
{}^{W}_{C}T = {}^{W}_{D}T\,{}^{D}_{C}T = \begin{bmatrix} 1 & 0 & 0 & 830 \\ 0 & 1 & 0 & 20 \\ 0 & 0 & 1 & 330 \\ 0 & 0 & 0 & 1 \end{bmatrix} \begin{bmatrix} \cos 35^\circ & -\sin 35^\circ & 0 & -280 \\ \sin 35^\circ & \cos 35^\circ & 0 & 250 \\ 0 & 0 & 1 & 62.5 \\ 0 & 0 & 0 & 1 \end{bmatrix}
$$

由「桌子相對於手臂」和「杯子相對於桌子」的相對關係推得

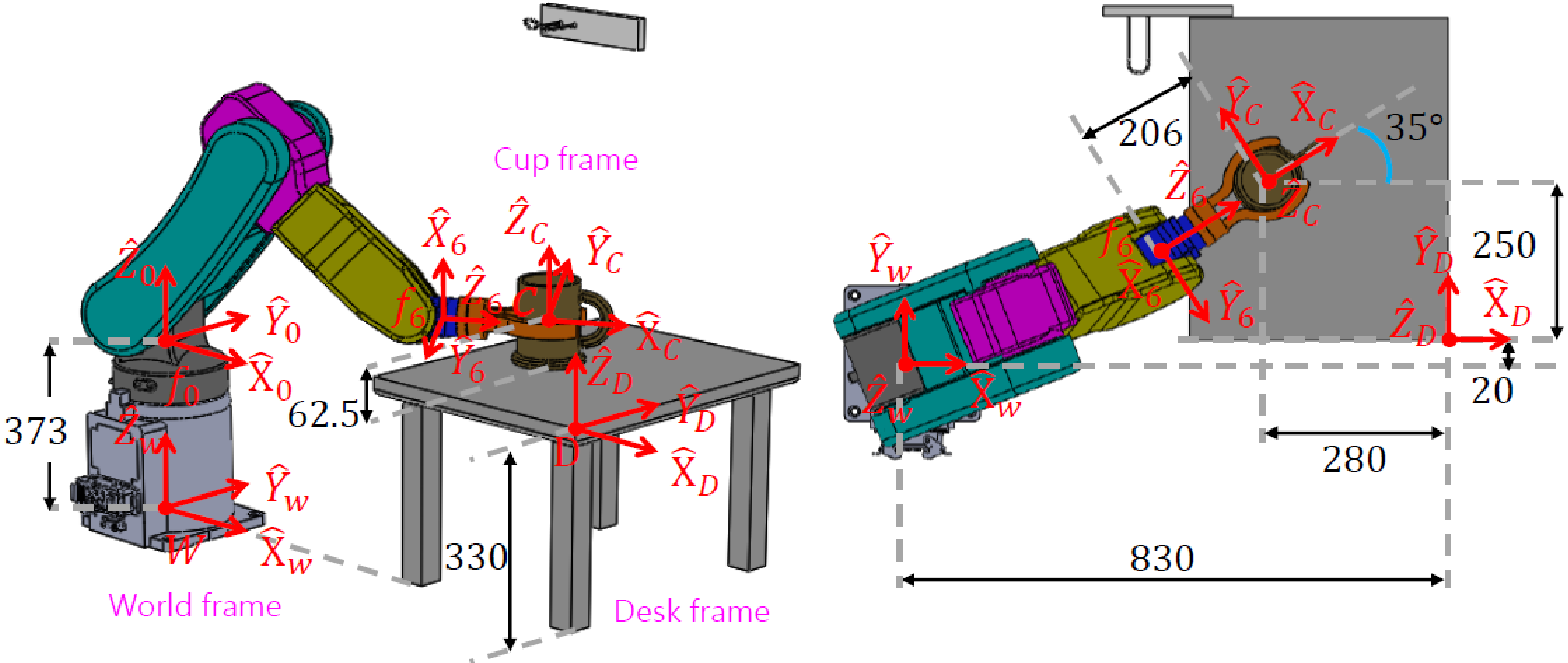

操作臂逆运动学

$$ {}^{W}_{C}T = {}^{W}_{0}T\,{}^{0}_{6}T\,{}^{6}_{C}T $$

$$ = \begin{bmatrix} 1 & 0 & 0 & 0 \\ 0 & 1 & 0 & 0 \\ 0 & 0 & 1 & 373 \\ 0 & 0 & 0 & 1 \end{bmatrix} {}^{0}_{6}T \begin{bmatrix} 0 & 0 & 1 & 0 \\ 0 & -1 & 0 & 0 \\ 1 & 0 & 0 & 206 \\ 0 & 0 & 0 & 1 \end{bmatrix} $$

$$ {}^{0}_{6}T = {}^{W}_{0}T^{-1}\,{}^{W}_{C}T\,{}^{6}_{C}T^{-1} $$

$$ = \begin{bmatrix} 0 & 0.5736 & 0.8192 & 381.3 \\ 0 & -0.8192 & 0.5736 & 151.8 \\ 1 & 0 & 0 & 19.5 \\ 0 & 0 & 0 & 1 \end{bmatrix} $$

$$ {}^{0}_{6}R = \begin{bmatrix} 0 & 0.5736 & 0.8192 \\ 0 & -0.8192 & 0.5736 \\ 1 & 0 & 0 \end{bmatrix} $$

$$ {}^{0}P_{6\,ORG} = \begin{bmatrix} 381.3 \\ 151.8 \\ 19.5 \end{bmatrix} $$

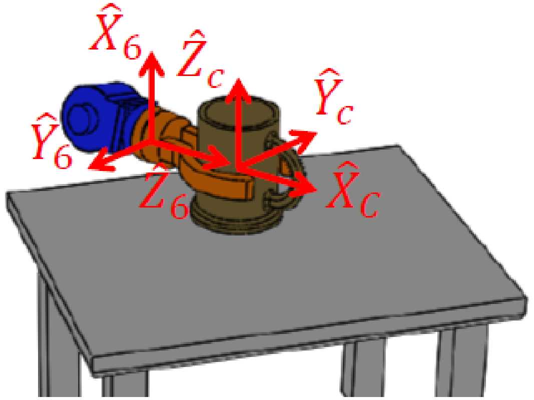

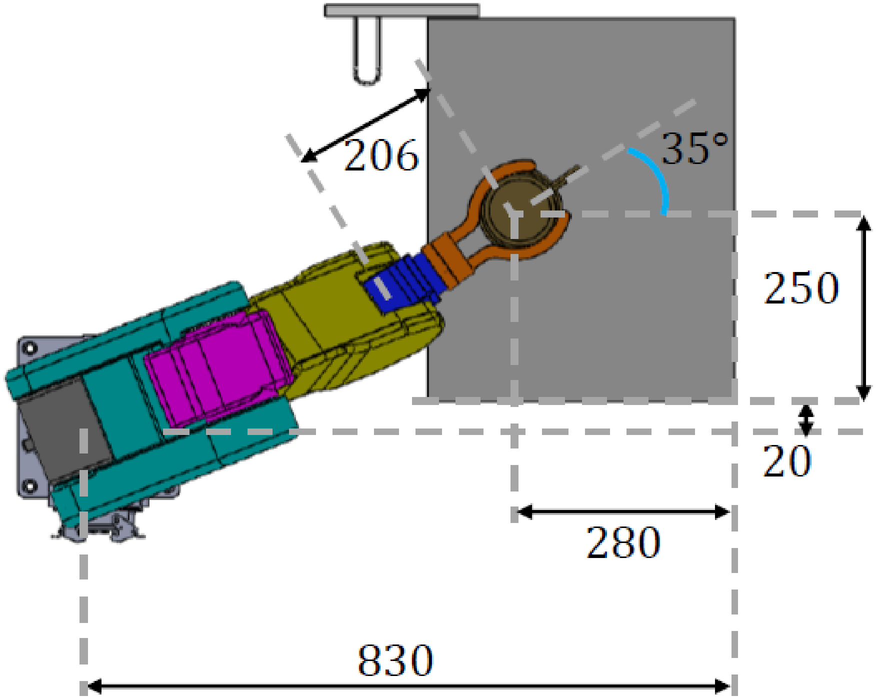

操作臂逆运动学

- Step 3: 找出 $\theta_1 - \theta_6$

  - θ_1 θ_2 θ_3 角度求解

$$\begin{bmatrix} f_1(\theta_3) \\ f_2(\theta_3) \\ f_3(\theta_3) \\ 1 \end{bmatrix} = {}^2_3T\ {}^3P_{4\,ORG}$$

$$= \begin{bmatrix} c_3 & -s_3 & 0 & 340 \\ s_3 & c_3 & 0 & 0 \\ 0 & 0 & 1 & 0 \\ 0 & 0 & 0 & 1 \end{bmatrix} \begin{bmatrix} -40 \\ 338 \\ 0 \\ 1 \end{bmatrix} = \begin{bmatrix} 340 - 338s_3 - 40c_3 \\ 338c_3 - 40s_3 \\ 0 \\ 1 \end{bmatrix}$$

$$\begin{bmatrix} g_1(\theta_2,\theta_3) \\ g_2(\theta_2,\theta_3) \\ g_3(\theta_2,\theta_3) \\ 1 \end{bmatrix} = {}^1_2T \begin{bmatrix} f_1(\theta_3) \\ f_2(\theta_3) \\ f_3(\theta_3) \\ 1 \end{bmatrix}$$

$$= \begin{bmatrix} c_2 & -s_2 & 0 & -30 \\ 0 & 0 & 1 & 0 \\ -s_2 & -c_2 & 0 & 0 \\ 0 & 0 & 0 & 1 \end{bmatrix} \begin{bmatrix} f_1(\theta_3) \\ f_2(\theta_3) \\ f_3(\theta_3) \\ 1 \end{bmatrix} = \begin{bmatrix} 340c_2 - 40c_{23} - 338s_{23} - 30 \\ 0 \\ 40s_{23} - 338c_{23} - 340s_2 \\ 1 \end{bmatrix}$$

操作臂逆运动学

$$r = (k_1c_2 + k_2s_2)2a_1 + k_3 = ||P||^2 = 168813.18$$
$$z = (k_1s_2 - k_2c_2)s\alpha_1 + k_4 = 19.5$$

計算θ_1 θ_2 θ_3角度

$$\frac{(r-k_3)^2}{4a_1^2} + \frac{(z-k_4)^2}{s^2\alpha_1} = k_1^2 + k_2^2 \qquad \Rightarrow solve\ \theta_3 = 2.5°$$
$$r = (k_1c_2 + k_2s_2)2a_1 + k_3 \qquad \Rightarrow solve\ \theta_2 = -52.2°$$
$$x = c_1g_1(\theta_2, \theta_3) - s_1g_2(\theta_2, \theta_3) \qquad \Rightarrow solve\ \theta_1 = 21.8°$$

空间描述和变换

- Z-Y-Z Euler Angles - 由R推算angles

$$
{}^{A}_{B}R_{Z'Y'Z'}(\alpha,\beta,\gamma) = \begin{bmatrix} c\alpha c\beta c\gamma - s\alpha s\gamma & -c\alpha c\beta s\gamma - s\alpha c\gamma & c\alpha s\beta \\ s\alpha c\beta c\gamma + c\alpha s\gamma & -s\alpha c\beta s\gamma + c\alpha c\gamma & s\alpha s\beta \\ -s\beta c\gamma & s\beta s\gamma & c\beta \end{bmatrix} = \begin{bmatrix} r_{11} & r_{12} & r_{13} \\ r_{21} & r_{22} & r_{23} \\ r_{31} & r_{32} & r_{33} \end{bmatrix}
$$

If $\beta \neq 0°$

$$\beta = Atan2(\sqrt{{r_{31}}^2 + {r_{32}}^2}, r_{33})$$

$$\alpha = Atan2(r_{23}/s\beta, r_{13}/s\beta)$$

$$\gamma = Atan2(r_{32}/s\beta, -r_{31}/s\beta)$$

If $\beta = 0°$

$$\alpha = 0°$$

$$\gamma = Atan2(-r_{12}, r_{11})$$

If $\beta = 180°$

$$\alpha = 0°$$

$$\gamma = Atan2(r_{12}, -r_{11})$$

操作臂逆运动学

- $\theta_4\ \theta_5\ \theta_6$ 角度求解

$$ {}^0_3R = \begin{bmatrix} 0.6006 & 0.7082 & -0.3710 \\ 0.24 & 0.2830 & 0.9286 \\ 0.7627 & -0.6468 & 0 \end{bmatrix} $$

$$ {}^3_6R = {}^0_3R^{-1}\,{}^0_6R = \begin{bmatrix} 0.7627 & 0.1477 & 0.6297 \\ -0.6468 & 0.1744 & 0.7424 \\ 0 & -0.9735 & 0.2286 \end{bmatrix} $$

使用Z-Y-Z Euler angle求得剩下的joint angles

$\theta_4 = -20°$ $\theta_5 = -42°$ $\theta_6 = 15°$

操作臂逆运动学

- 现今许多工业机器人能够运动到示教的目标点。
- **示教点**是操作臂运动实际要达到的点，同时关节位置传感器读取关节角并存储。当命令机器人返回这个空间点时，每个关节都移动到已存储的关节角的位置。在这样简单的“示教和再现”的操作臂中，不存在逆运动学问题，因为没有在笛卡儿坐标系里指定目标点。当制造商在确定操作臂返回示教点的精度时，就是在确定操作臂的**重复精度**。
- 只要目标位置和姿态是用笛卡儿坐标来确定的，为了求出关节角，就必须要计算逆运动学问题。对于可用笛卡儿坐标描述目标位置的系统，它可以将操作臂移动到工作空间中不曾示教过的点，这些点或许以前从未达到过。我们称这些点为**计算点**。对许多操作臂作业来说这种能力是必需的。例如，如果用计算机视觉系统来定位机器人必须抓持的工件，那么机器人必须能够移动到视觉传感器指定的笛卡儿坐标。到达这个计算点的精度就被称作为操作臂的**精度**。
- 操作臂的精度不会超过其重复精度。显然，精度受到机器人运动学方程中参数精度的影响。Denavit-Hartenbetg 参数中的误差将会引起逆运动学方程中关节角的计算误差。<u>因此，尽管绝大多数工业机器人的重复精度非常好，但是操作臂之间的精度通常相当差</u>，并且不同操作臂之间的精度相差相当大。通过对操作臂运动学参数做辨识，标定技术可以提高操作臂的精度。

操作臂逆运动学

- 在许多路径控制方法中（这将在第7章中进行讨论），需要以相当高的速率计算操作臂的逆运动学问题，例如30Hz甚至更快。因此，计算效率是一个重要问题。这些速度上的要求并不包括应用数值计算技术的影响（实际上是迭代算法），因此，在此对这个问题不做讨论。
- 3. 10 节的主要内容是讨论正运动学问题，但也适用于逆运动学问题。对于逆运动学问题，一个关于Atan2 的查表法子程序经常被用于提高计算速度。
- 多解的计算结构也十分重要。并行计算所有的解通常效率是相当高的，而不是依次顺序计算。当然在某些应用中，如果并不需要所有的解，则只计算一个解就可以节省不少的计算时间。
- 当用几何方法求逆运动学解时，在得到第一个解后，有时可以通过对各种角度做简单操作来计算多解问题。即第一个解的计算是相当费时的，但是通过计算角度的和或差以及加减π等方法可以很快求得其余的解。

机器人原理课程

4. 操作臂逆运动学

部分课件来自于台湾大学 林沛群 教授 “机器人学导论”课程课件，在此表示感谢！

王久珂

wangjk57@mail.sysu.edu.cn